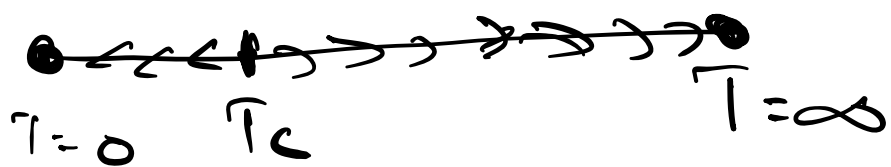


Modelo convencional paramétrico



Cada punto fijo \rightarrow punto crítico trivial.

(Por ejemplo para Ising en $D \geq 2$)



Para cada punto critico no trivial
 \rightarrow acción S_c

contiene campos $\Phi_i(\vec{r})$ de dimensión
 x_i representan cantidades físicas
 locales.

Productor de operadores

O.P.E.

$$\int \Phi_i(\vec{r}) \Phi_j(\vec{r}) \xrightarrow{|\vec{r}-\vec{r}'| \rightarrow 0} \sum_k C_{ijk} \frac{\Phi_k(\vec{r})}{|\vec{r}-\vec{r}'|^{\gamma_i + \gamma_j + \gamma_k}}$$

Si se solo es el punto P

$$S_c \rightarrow S_c - \int d\vec{r} \sum_i a^{x_i-1} g_i \Phi_i(\vec{r})$$

$$\frac{dg_k}{dx} = (d - \gamma_k) g_k - \frac{1}{2} \sum_j c_{ijk} g_i g_j$$

$$g_i \rightarrow \frac{2}{\epsilon} g_i$$

$$\Rightarrow \frac{dg_k}{dx} = (d - \gamma_k) g_k - \frac{1}{2} \sum_{ij} c_{ijk} g_i g_j + O(g^3)$$

α se convierte en nuevo punto

Ago la der par $g_i^* \rightarrow p^*$
el hijo actual de P_+

$$g_i = g_i^* + \delta g_i$$

$$\frac{d}{dx} \begin{pmatrix} \delta g_1 \\ \delta g_2 \\ \vdots \\ \delta g_N \end{pmatrix} = P_+^* \begin{pmatrix} \delta g_1 \\ \vdots \\ \delta g_N \end{pmatrix}$$

$$\underline{P_{i,j}^+} = (d - \gamma_i) \delta_{i,j} - \sum_l C_{lj} g_l^+$$

obs imparante

Se oculta en punto critico

$\mathbb{I}_1, \dots, \mathbb{I}_N$ comp.

permite a Sc con \mathbb{I}_1

pero si $\mathbb{I}_1, \mathbb{I}_1 \rightarrow \mathbb{I}_2$

→ para el R.G. hay que tener
esta perturbación al \mathbb{I}_2

y luego n' $\mathbb{I}_1, \mathbb{I}_2 \rightarrow \mathbb{I}_3$

→ hay que poner el \mathbb{I}_3 también
etc.

→ hay que poner todos los compes

generados por \tilde{J}_1 ?

ejemplo

$$S_c = \int_{\text{V}} \left[\frac{c}{2} (\nabla \phi)^2 \right]$$

$$S_c \rightarrow S_c + \int_{\text{V}} \phi^6$$

$$\phi(\tilde{J}_1(\tau)) = \phi^6(\tau)$$

$$\phi^6(\tau) \phi^6(\tilde{\tau}) \rightarrow \underbrace{\phi}_{\tau}, \underbrace{\phi^4}_{\tau}, \underbrace{\phi^6}_{\tau}, \underbrace{\phi^8}_{\tau}, \dots$$

obs ϕ^6 tiene la simetría $\frac{\phi \rightarrow -\phi}{}$

$\rightarrow \phi^6$ no va a quedar $\underbrace{\phi^2, \phi^5}_{\tau, \tilde{\tau}}$ etc..

Parámetros teóricos inv. & escalares
o invariantes para R.G. (Polya 1969-70)

$$\bar{I}_i(\vec{r}) \rightarrow \dim x_i$$

$$\langle \bar{I}_i(\vec{r}_1) \bar{I}_j(\vec{r}_2) \rangle = \frac{\delta_{x_i, x_j}}{|\vec{r}_1 - \vec{r}_2|^{2\gamma_i}}$$

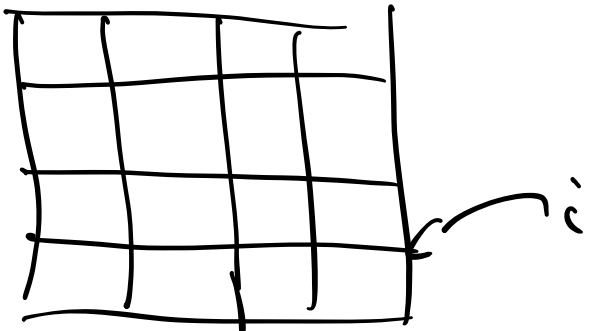
$$\begin{aligned} \langle \bar{I}_i(\vec{r}_1) \bar{I}_j(\vec{r}_2) \bar{I}_k(\vec{r}_3) \rangle \\ = \frac{C_{ijk}}{|\vec{r}_1 - \vec{r}_2|^{\gamma_i + \gamma_j - \gamma_k} |\vec{r}_2 - \vec{r}_3|^{\gamma_j + \gamma_k - \gamma_i} |\vec{r}_1 - \vec{r}_3|^{\gamma_i + \gamma_k - \gamma_j}} \end{aligned}$$

VII

El modelo "xy" en 2-D

a) Comportamiento a bajas temperaturas

red cuadrada



$$\overline{S_i} = S_i^x \overline{e_x} + S_i^y \overline{e_y} = \cos\theta_i \overline{e_x} + \sin\theta_i \overline{e_y}$$

$$\|\overline{S_i}\| = 1 \quad \forall i$$

$$f = -J \sum_{\langle i,j \rangle} \overline{S_i} \cdot \overline{S_j} = -J \sum_{\langle i,j \rangle} \cos(\theta_i - \theta_j)$$

$$Z = \int_0^{2\pi} d\theta_i e^{-\beta H}$$

$$= \int_0^{2\pi} d\theta_i \frac{e^{\frac{J}{k_B T} \sum_{i,j} \cos(\theta_i - \theta_j)}}{\text{---}}$$

Convergencia con el límite de bajas temperaturas $T \rightarrow 0$

\rightarrow hay que maximizar todos los $\cos(\theta_i - \theta_j) \Rightarrow \theta_i \approx \theta_j$

(\rightarrow todas las espiras son casi paralelas)

$$\theta_i - \theta_j \ll 1$$

$$\boxed{\cos(\theta_i - \theta_j) = 1 - \frac{1}{2} (\theta_i - \theta_j)^2 + \dots}$$



$$\cos(\theta_i - \theta_j) = 1 - \frac{(\nabla_x \theta_i)^2}{2} + \dots$$

$$\theta_i \rightarrow \theta(r_i)$$

$$\theta_j \rightarrow \theta(\bar{r}_j) \quad \text{where} \quad \bar{r}_j = \bar{r}_i + a \hat{e}_x$$

$$\theta_j \rightarrow \theta(\bar{r}_j) = \theta(\bar{r}_i + a \hat{e}_x)$$

$$\theta(\bar{r}_j) \approx \theta(\bar{r}_i) + a \frac{\partial}{\partial x} \theta(\bar{r}_i) + \frac{a^2}{2} \frac{\partial^2}{\partial x^2} \theta(\bar{r}_i) + \dots$$

$$\Delta_x \theta_i = \theta_j - \theta_i \approx a \underbrace{\frac{\partial}{\partial x} \theta(\bar{r}_i)}_{\approx 0} + O(a^2)$$

$$\cos(\theta_i - \theta_j) \approx 1 - \frac{(\nabla_x \theta_i)^2}{2} + \dots$$

$$\sum_{i,j} \cos(\theta_i - \theta_j) \approx \overline{\sum_i \frac{1}{2} [(\Delta_x \theta_i)^2 + (\Delta_y \theta_i)^2]}$$

$$\Delta_x \theta_i \rightarrow a \frac{\partial}{\partial x} \theta(r)$$

$$\Delta_y \theta_i \rightarrow a \frac{\partial}{\partial y} \theta(r)$$

$$\sum_i \rightarrow \int_{C_1} \int_{C_1}$$

$$\sum_{i,j} \cos(\theta_i - \theta_j) \rightarrow \int_1^T \int_{C_1} (\bar{\rho} \theta(r))^2$$

sea que

$$-\frac{J}{k_B T} \sum_{i,j} \cos(\theta_i - \theta_j) \rightarrow \left(\frac{J}{2k_B T} \right) \int_{C_1} (\bar{\rho} \theta)^2$$

→ en el límite al continuo
quedará el modelo gaussiano

invariante de escala!

→ hay una fase de bajas temperaturas
invariante de escala!

5) Funciones de correlación

$$\langle S(\vec{r}) \cdot \overline{S(\vec{r}')} \rangle \sim \langle e^{i\theta(\vec{r})} e^{-i\theta(\vec{r}')} \rangle$$

$$= e^{i\vec{k}(\theta(\vec{r}) - \theta(\vec{r}'))} = \underline{\underline{e^{G(\vec{r}) - G(\vec{r}')}}}$$

$$\text{dónde } f(\vec{r}) = \langle \theta(\vec{r}) \theta(\vec{r}') \rangle$$

$$G(\vec{r}) - G(\vec{r}') = \frac{k_B T}{2\pi\beta} \int_{-\infty}^{\infty} \frac{e^{i\vec{k}\cdot\vec{r}} - 1}{k^2} \downarrow$$

↑ converge para
 $k \rightarrow 0$
pero tiende para
 $k \rightarrow \infty$

→ cut-off U.V. $\propto \frac{1}{k}$

$$G(\vec{r}) - f(0) = \frac{-T h_{\text{KS}}}{2\pi S} \ln \frac{|\vec{r}|}{a}$$

$$\Rightarrow \langle S(\vec{q}), S(\vec{r}) \rangle \sim \langle e^{iQ(\vec{q})} e^{-iQ(\vec{r})} \rangle \sim \left(\frac{a}{|\vec{r}|} \right)^{\frac{k_B T}{2\pi S}}$$

→ las funciones de correlación
decaen algebraicamente con $|\vec{r}|$
con un exponente $\frac{k_B T}{2\pi S}$ que depende
de T !

→ Quasi-Long-Range-Order
QLRO.

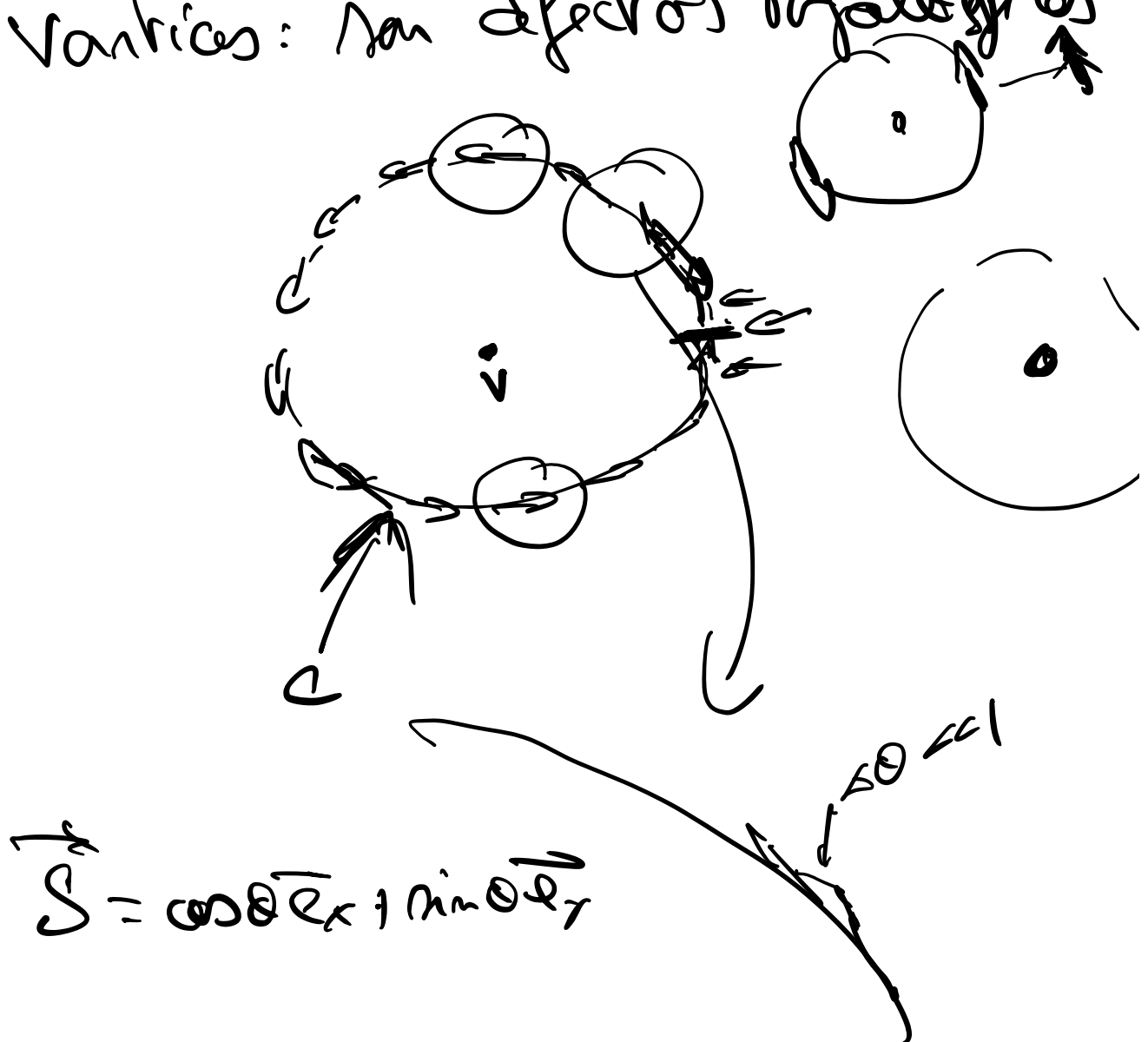
en 3D, para $T < T_c$

$$\langle S(\vec{q}), S(\vec{r}) \rangle \underset{|\vec{r}| \rightarrow \infty}{\sim} n^2 \neq 0$$

¡jo ! esta es cierto solar para
bajos temperaturas !

c) Los vortices

Vortices: son defectos topológicos



en el Cilindro

$$\oint_C \vec{\nabla} \theta \cdot d\vec{r} = 2\pi m \quad \text{con } m \in \mathbb{Z}$$

$$\begin{aligned}\vec{S} &= (\cos \theta, \sin \theta, 0) \\ \partial_m \vec{S} &= (-\partial_m \theta \sin \theta, \partial_m \theta \cos \theta, 0)\end{aligned}$$

$$\boxed{\frac{1}{2\pi} \oint_C \sum_m \vec{S} \wedge \partial_m \vec{S} \cdot \vec{e}_z \cdot dz = m}$$

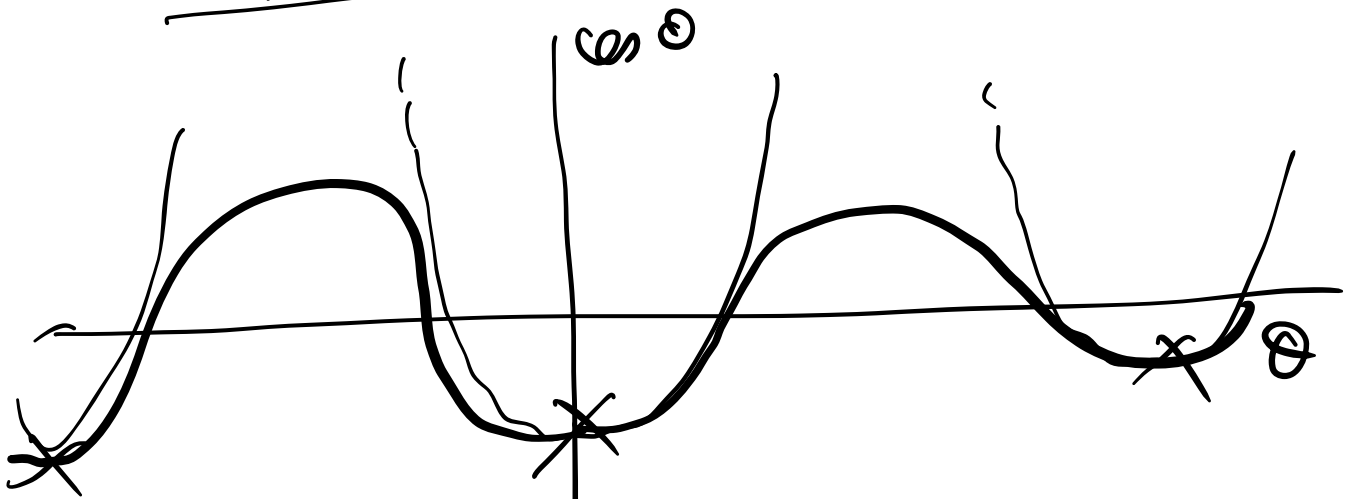
invariante topológico.

aquí m es la valencia.

si hay vértices

→ hay un problema con

$$-\cos(\Delta_n \theta_i) \approx -1 + \frac{1}{2} (\underline{\Delta_n \theta_i})^2 + \dots$$



$$-\cos(\Delta_n \theta_i) \approx \sum_{m=-\infty}^{\infty} \frac{1}{2} (\Delta \theta_i - 2\pi m)^2$$

$$\hat{\beta} = \frac{\gamma}{k_B T}$$

$$e^{\hat{\beta} \cos(\theta_i - \theta_j)}$$

$$e^{\hat{\beta} \cos(\theta)} \quad \text{para } \theta \in [0, 2\pi]$$

$$e^{\hat{P} \cos(\theta)} = \sum_{n=-\infty}^{+\infty} e^{in\theta} J_n(\hat{P})$$

$$J_n(\hat{P}) = \int_0^{2\pi} e^{\hat{P} \cos(\theta)} e^{-in\theta} e^{\frac{iQ}{2\pi}} d\theta$$

$$\hat{P} \rightarrow \varnothing$$

$$J_n(\hat{P}) \xrightarrow[\hat{P} \rightarrow \infty]{} e^{\hat{P}} \frac{1}{\sqrt{2\pi\hat{P}}} e^{\frac{-n^2}{2\hat{P}}}$$

$$e^{\hat{P} \cos \theta}$$

$$\xrightarrow[\hat{P} \rightarrow \infty]{} \sum_{n=-\infty}^{+\infty} e^{in\theta} e^{\frac{-n^2}{2\hat{P}}} \frac{e^{\hat{P}}}{\sqrt{2\pi\hat{P}}}$$

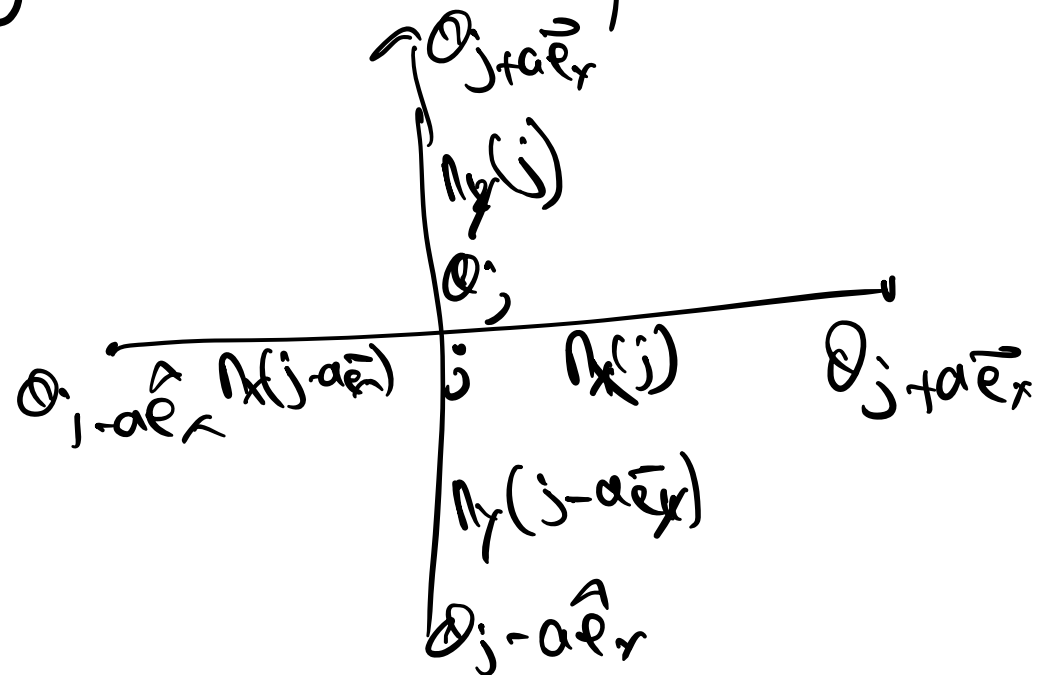
Case 2:

$$Z = \int_{-\pi}^{\pi} d\theta_i e^{\beta \sum_{i,m} \cos(\Delta_m \theta_i)}$$

$$\rightarrow d\theta_i e^{\int_{-\pi}^{\pi} d\theta_j e^{i \Delta_m \theta_j} e^{-\frac{\beta \Delta_m^2}{T}}}$$

$\int_{-\pi}^{\pi} d\theta_j e^{i n \theta_j} = \begin{cases} 2\pi i^n & n=0 \\ 0 & n \neq 0 \end{cases}$

$$\int_0^{2\pi} e^{i n \theta} d\theta = \begin{cases} 2\pi i^n & n=0 \\ 0 & n \neq 0 \end{cases}$$



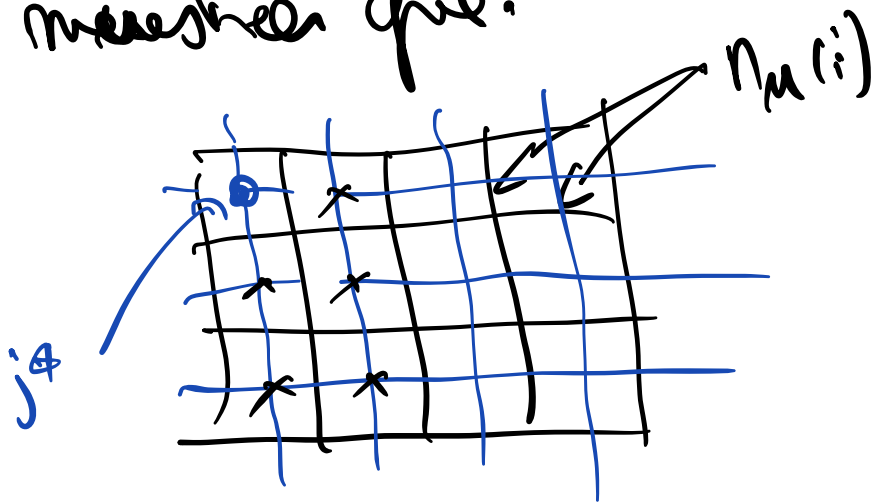
hay que pedir que

$$\nabla_x(\vec{n}) - \nabla_x(\vec{n} - \alpha\hat{e}_x) + \nabla_y(\vec{n}) - \nabla_y(\vec{n} - \alpha\hat{e}_y) = 0$$

$\nabla \cdot \vec{n} = 0$

Condición
de los
 n_{μ}

Se muestra que:



j^* punto de la red dual.

n_i , acota punto de la red dual

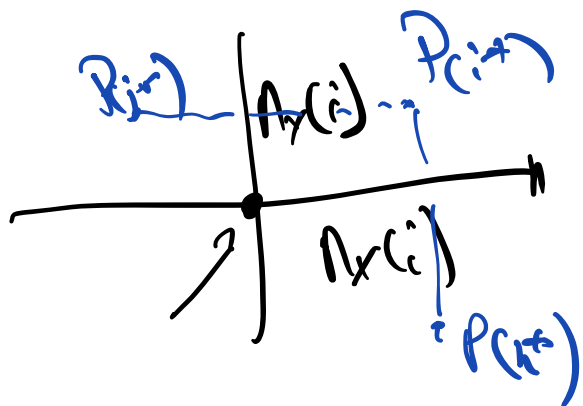
se le atribuye un número entero

$$P(j^*) \rightarrow \Delta_P(j^*)$$

Se muestra que

$$\text{en } \eta_{\mu}(i) = \sum_{\Delta} E_{\mu\Delta} \Delta_{\Delta} P(i^*)$$

$$E_{\mu\Delta} = \begin{cases} 1 & \text{si } \mu = x, \nu = y \\ -1 & \text{si } \mu = y, \nu = x \\ 0 & \text{si } \mu = \nu \end{cases}$$



$$\eta_x(i) = P(i^*) - P(i)$$

$$\eta_x(i) = P(j^*) - P(j)$$

→ Se satisface la condición de

los η_{μ}

$$\overrightarrow{\nabla} \cdot \overrightarrow{B} = 0 \Rightarrow \overrightarrow{B} = \overrightarrow{\nabla} \times \overrightarrow{A}$$

→ Transformación de localidad

$$Z = \det \sum_{i,j} e^{-\left(\frac{1}{2\beta} \sum_{m \in M} (\Delta_m p_{ij})^2\right)}$$

$i(p_{ij}) = -\omega$

formula de Poisson.

F.g.

$$\sum_{n=-\infty}^{\infty} g(n) = \sum_{m=-\infty}^{+\infty} \int_{-\infty}^{\infty} d\epsilon g(\epsilon) e^{2\pi i \epsilon m}$$

$$DZ = \det \int_{-\infty}^{\infty} d\epsilon L_j^*$$

$$e^{-\frac{1}{2\beta} \sum_{i,j,m} (\Delta_m L_{ij}^*)^2 + 2\pi i \sum_{j \in J} M(j) L_j^*}$$

1ra aproximación:

consideren inicialemente

$$\text{los } m(j^a) = 0, \pm 1$$

$$Z \approx \text{det} \int_{j^a} \prod_j e^{-\frac{1}{2\theta} \sum_{j,a} (\psi_m q_j)^2}$$

$$(1 + \sum_{j^a, k^a} e^{2\pi i \psi_j - 2\pi i \psi_k})$$

$$+ \sum_{j^a, h^a, l^a, r^a} e^{2\pi i \psi_j + 2\pi i \psi_h - 2\pi i \psi_r - 2\pi i \psi_k}$$

+ ... |

)

$$DZ^2 \text{ de } \int_{j^*} T_j d\varphi_j$$

$$e^{-\frac{1}{2\beta} \sum (\Delta \varphi_j)^2 + 2 \sum_{j^*} (e^{2i\pi \ell_{j^*}} + e^{-2i\pi \ell_{j^*}})}$$

→ límite del continuo.

$$Z = \int d\varphi(r) e^{-\frac{1}{2\beta} \int d\varphi \left[(\nabla \varphi)^2 + g \cos(2\pi \ell(r)) \right]}$$

↑
↑
Vorticis

acción de Sine-Gordon.

→ Anéelins por R.G.

¿Cuál es la dimensión → escala → g ?

$$\langle e^{i2\pi \ell(r)} e^{-i2\pi \ell(r')} \rangle \sim \frac{1}{m^{2\pi \beta}}$$

$$[\cos(2\pi \beta(r))] = L^{-\pi \beta^2}$$

$$\Rightarrow [g] = L^{\pi \beta^2 - 2}$$

R.G.

$$\frac{dg}{dP} = (2 - \pi \hat{\beta}) g + \mathcal{O}(g^2)$$

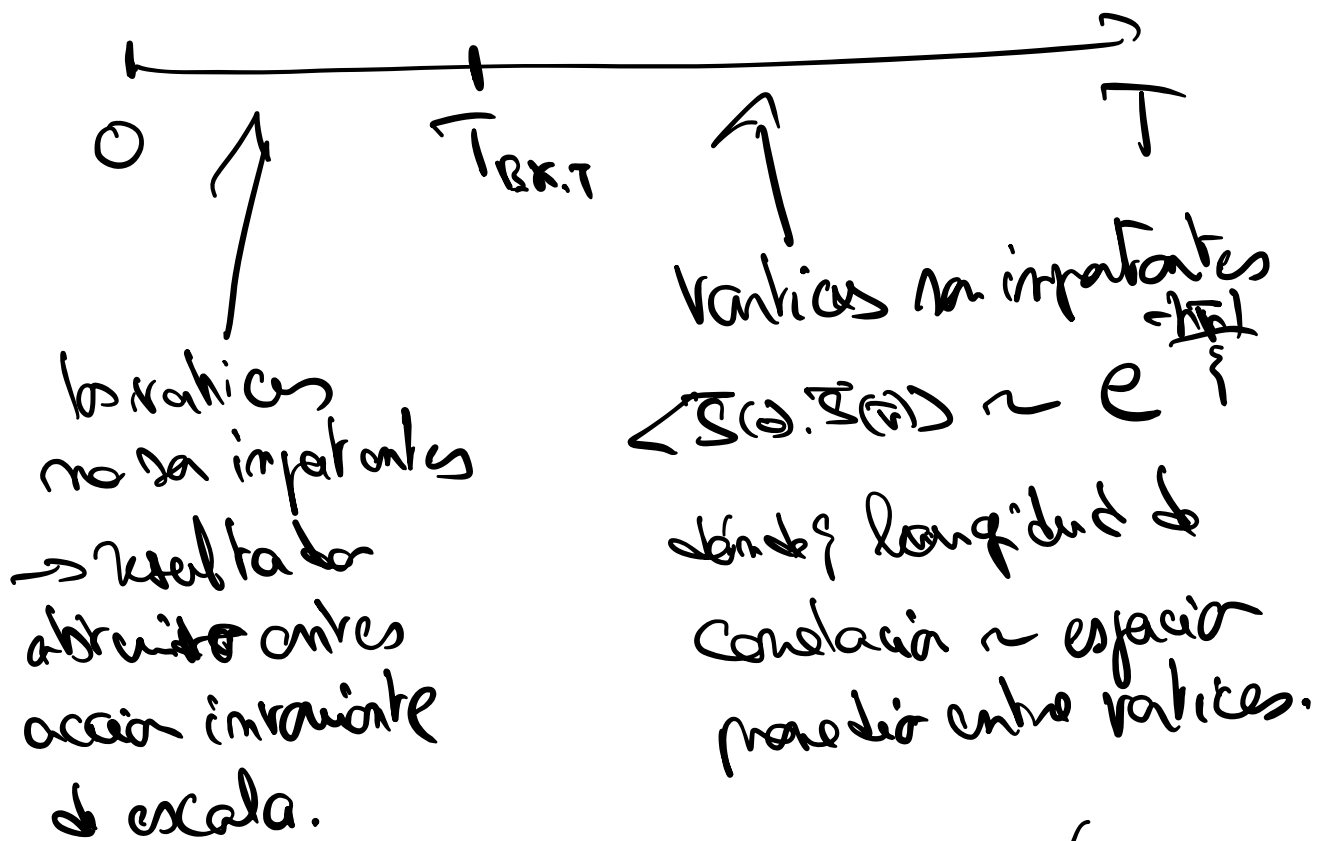
g es divergente si $2 - \pi \hat{\beta} > 0$

$$\hat{\beta} P 2 - \frac{\pi S}{k_B T} > 0$$

$$\Rightarrow \boxed{T > \frac{\pi S}{2 k_B} = T_{BKT}}$$

si $T > T_{BKT} \rightarrow$ los vértices

Van a ser cada vez más importantes
escalas exponenciales!



$$\int d\vec{q} T(\vec{q})^2 \frac{rg \cos(\gamma \vec{q} \cdot \vec{q}) + g \cos(\alpha \vec{q} \cdot \vec{q})}{rg' \cos(\beta \vec{q} \cdot \vec{q})}$$

$$\boxed{-\Delta \varphi + \sin(\bar{\omega} t - \varphi) = 0}$$

$$\boxed{(-\Delta \varphi + 2\pi \varphi) = 0}$$

↓
K.G.

